

мени $\tau = 0,1$ осевые напряжения (кривая I_0), обусловленные температурным полем сваривания (кривая I_0), осевые напряжения I и II , возникающие в результате сваривания с подогревом температурными полями, определенными соответственно при $\beta_1 = 0,4\pi$ (кривые I), $\beta_1 = 0,6\pi$ (кривые 2) и ограничениях (10) и осевые напряжения II'' , вызванные свариванием с подогревом температурным полем $2''$ при $\beta_1 = 0,6\pi$ и ограничениях (11). Указанные температурные поля, а также температурное поле подогрева $2'$, соответствующее $\beta_1 = \pi$ и ограничениям (10), приведены на том же рисунке.

Отметим, что при локальном подогреве с увеличением зоны локального подогрева максимальные осевые напряжения уменьшаются и перемещаются в направлении от шва, а подогрев вдоль всей оболочки температурным полем $2'$ приводит к полному снятию в ней напряжений.

ЛИТЕРАТУРА

1. Болотин В. В. Уравнения нестационарных температурных полей в тонких оболочках при наличии источников тепла. — Прикл. математика и механика, 1960, 24, № 2, с. 361—363.
2. Гельфанд М. М., Фомин С. В. Вариационное исчисление. М., Физматгиз, 1961. 228 с.
3. Ильюшин А. А. Пластичность. М.—Л., Гостехиздат, 1948. Ч. 1. 376 с.
4. Підстригач Я. С., Ярема С. Я. Температурні напруження в оболонках. Київ, Наук. думка, 1961. 212 с.
5. Рыкалин Н. Н. Тепловые основы сварки. М.—Л., Наука, 1947. Ч. 1. 271 с.

Львовский филиал математической
физики Института математики
АН УССР

Поступила в редколлегию
14.09.77

УДК 539.377

Б. В. Гера

ОПТИМИЗАЦИЯ ДИНАМИЧЕСКИХ ТЕРМОНАПРЯЖЕНИЙ В ЦИЛИНДРИЧЕСКОЙ ОБОЛОЧКЕ

Цилиндрическая оболочка радиуса R и толщины $2h$, начальная температура которой равна нулю, теплоизолирована со стороны поверхности $\gamma = -h$. Поверхность оболочки $\gamma = h$ за промежутки времени $0 \leq \tau' \leq \tau_1$ нагревается до температуры, задаваемой функцией $\tilde{t}_H(\beta)$ (β — угловая координата, $-\pi \leq \beta \leq \pi$). В дальнейшем при $\tau > \tau_1$ распределение температуры на поверхности $\gamma = h$ поддерживается таким же. Задача состоит в нахождении функции $\tilde{t}^+(\beta, \tau)$, определяющей режим нагрева поверхности оболочки, при котором динамическое напряженное состояние оболочки оптимально близко к соответствующему ему квазистатическому приближению.

Динамические уравнения термоупругости для цилиндрической оболочки в условиях плоской деформации представим в безразмерном виде [1]

$$\left[c^2(1-l^2) \frac{\partial^2}{\partial \tau^2} - (1+l^2) \frac{\partial^2}{\partial \beta^2} \right] V + \frac{\partial}{\partial \beta} \left(l^2 c^2 \frac{\partial^2}{\partial \tau^2} + l^2 \frac{\partial^2}{\partial \beta^2} - 1 \right) W + \frac{\partial T_1}{\partial \beta} + l^2 \frac{\partial T_2}{\partial \beta} = 0, \quad (1)$$

$$\left[c^2 \frac{\partial^2}{\partial \tau^2} \left(l^2 \frac{\partial^2}{\partial \beta^2} + 1 \right) + l^2 \frac{\partial^4}{\partial \beta^4} + 1 \right] W - \frac{\partial}{\partial \beta} \left(l^2 c^2 \frac{\partial^2}{\partial \tau^2} + l^2 \frac{\partial^2}{\partial \beta^2} - 1 \right) V + l^2 \frac{\partial^2 T_2}{\partial \beta^2} - T_1 = 0.$$

Здесь $V(\beta, \tau) = \frac{v(\beta, \tau)}{R}$, $W(\beta, \tau) = \frac{w(\beta, \tau)}{R}$, $v(\beta, \tau)$, $w(\beta, \tau)$ — компоненты вектора перемещения точек срединной поверхности; $\tau = \frac{\tau'}{\tau_1}$ — без-

размерное время; $l^2 = \frac{1}{3} \frac{h^2}{R^2}$; $c = \frac{R}{c_0 \tau_1}$; $c_0^2 = \frac{E}{\rho(1-\nu^2)}$; E — модуль упругости; ν — коэффициент Пуассона; ρ — плотность;

$$T_1(\beta, \tau) = \frac{1}{2h} \int_{-h}^h t(\gamma, \beta, \tau) d\gamma; \quad T_2(\beta, \tau) = \frac{3R}{2h^3} \int_{-h}^h \gamma t(\gamma, \beta, \tau) d\gamma;$$

α_t — коэффициент линейного расширения; $t(\gamma, \beta, \tau) = \alpha_t(1 + \nu) \bar{t}(\gamma, \beta, \tau)$; $\bar{t}(\gamma, \beta, \tau)$ — температура в оболочке.

В квазистатическом приближении уравнения термоупругости запишутся так:

$$\begin{aligned} \frac{\partial}{\partial \beta} \left(l^2 \frac{\partial^2}{\partial \beta^2} - 1 \right) W^* - (1 + l^2) \frac{\partial^2}{\partial \beta^2} V^* + \frac{\partial T_1}{\partial \beta} + l^2 \frac{\partial T_2}{\partial \beta} &= 0, \\ \left(l^2 \frac{\partial^4}{\partial \beta^4} + 1 \right) W^* - \frac{\sigma}{\partial \beta} \left(l^2 \frac{\partial^2}{\partial \beta^2} - 1 \right) V^* + l^2 \frac{\partial^2 T_2}{\partial \beta^2} - T_1 &= 0. \end{aligned} \quad (2)$$

Следуя методике работы [1], для рассматриваемых тепловых граничных условий

$$t(h, \beta, \tau) = t^+(\beta, \tau) \quad \text{и} \quad \frac{\partial t(-h, \beta, \tau)}{\partial \gamma} = 0$$

в приближении линейного распределения температуры по толщине

$$t = T_1 + \frac{\gamma}{R} T_2 \quad (3)$$

имеем уравнения, связывающие T_1 , T_2 и t^+ :

$$T_1 + \frac{h}{R} T_2 - t^+ = 0, \quad (4)$$

$$\left(3l^2 \frac{\partial^2}{\partial \beta^2} - a_1 \frac{\partial}{\partial \tau} \right) T_1 - \frac{h}{R} \left(l^2 \frac{\partial^2}{\partial \beta^2} - \frac{a_1}{3} \frac{\partial}{\partial \tau} - 1 \right) T_2 = 0,$$

где $a_1 = \frac{a^2 h^2}{\tau_1}$; a^2 — коэффициент температуропроводности. За начальные условия при $\tau = 0$ принимаем

$$V = 0, \quad W = 0, \quad \frac{\partial V}{\partial \tau} = 0, \quad \frac{\partial W}{\partial \tau} = 0, \quad T_1 = 0. \quad (5)$$

Функция $t^+(\beta, \tau)$ удовлетворяет условиям

$$t^+(\beta, 0) = 0 \quad \text{и} \quad t^+(\beta, \tau) = t_H(\beta) \quad \text{при} \quad \tau \gg 1, \quad (6)$$

где $t_H(\beta) = \alpha_t(1 + \nu) \bar{t}_H(\beta)$ — заданная функция.

Для реализации условий (6) на функцию $t^+(\beta, \tau)$ введем дополнительно ограничения вида

$$\int_0^1 \tau^i t^+(\beta, \tau) d\tau = \kappa^{(i)}(\beta) \quad (i = 0, 1). \quad (7)$$

Здесь $\kappa^{(i)}(\beta)$ — непрерывные функции, выбор которых связан с удовлетворением равенств (6).

Функцию управления $t^+(\beta, \tau)$ в области оболочки для $0 \leq \tau \leq 1$, которая должна обеспечить оптимальное приближение динамического напряженного состояния оболочки к квазистатическому, находим из условия минимума функционала

$$I = \int_0^{\tau_2} \int_{-\pi}^{\pi} \int_{-h}^h [(\sigma_{11} - \sigma_{11}^*)^2 + (\sigma_{22} - \sigma_{22}^*)^2] d\gamma d\beta d\tau, \quad (8)$$

где $\tau_2 > 1$; σ_{11} , σ_{22} — динамические, а σ_{11}^* , σ_{22}^* — квазистатические напряжения, вызываемые одним и тем же температурным режимом, которые определяются по формулам

$$\sigma_{11} = \frac{E}{1-\nu^2} \left[\nu \left(\frac{\partial V}{\partial \beta} + W \right) - \nu \frac{\gamma}{R} \left(\frac{\partial^2 W}{\partial \beta^2} - \frac{\partial V}{\partial \beta} \right) - T_1 - \frac{\gamma}{R} T_2 \right], \quad (9)$$

$$\sigma_{22} = \frac{E}{1-\nu^2} \left[\frac{\partial V}{\partial \beta} + W - \frac{\gamma}{R} \left(\frac{\partial^2 W}{\partial \beta^2} - \frac{\partial V}{\partial \beta} \right) - T_1 - \frac{\gamma}{R} T_2 \right] (-h \leq \gamma \leq h).$$

Функции $g(\beta) \equiv (t_H, \kappa^{(i)})$, $f(\beta, \tau) \equiv (t^+, T_1, T_2, W, W^*)$, $\rho(\beta, \tau) \equiv (V, V^*)$ запишем в виде разложения по тригонометрическим функциям:

$$g(\beta) = \sum_{k=0}^{\infty} (g_{1k} \cos k\beta + g_{2k} \sin k\beta),$$

$$f(\beta, \tau) = \sum_{k=0}^{\infty} (f_{1k}(\tau) \cos k\beta + f_{2k}(\tau) \sin k\beta),$$

$$\rho(\beta, \tau) = \sum_{k=0}^{\infty} (\rho_{1k}(\tau) \sin k\beta - \rho_{2k}(\tau) \cos k\beta).$$

Подставляя эти представления в уравнения (1), (2), (4), условия (5) — (7) и приравнявая выражения при одинаковых гармониках, получаем систему уравнений для коэффициентов разложения

$$\begin{aligned} \Sigma_{jk}^{(1)} &\equiv c^2 (1 - l^2) \frac{d^2 V_{jk}}{d\tau^2} - kl^2 c^2 \frac{d^2 W_{jk}}{d\tau^2} + (1 + l^2) k^2 V_{jk} + k(1 + l^2 k^2) W_{jk} - \\ &\quad - kT_{jk}^{(1)} - kl^2 T_{jk}^{(2)} = 0, \\ \Sigma_{jk}^{(2)} &\equiv c^2 (1 - l^2 k^2) \frac{d^2 W_{jk}}{d\tau^2} - c^2 l^2 k \frac{d^2 V_{jk}}{d\tau^2} + k(1 + l^2 k^2) V_{jk} + (1 + l^2 k^4) W_{jk} - \\ &\quad - T_{jk}^{(1)} - l^2 k^2 T_{jk}^{(2)} = 0, \\ \Sigma_{jk}^{(3)} &\equiv (1 + l^2) k^2 V_{jk}^* + k(1 + l^2 k^2) W_{jk}^* - kT_{jk}^{(1)} - kl^2 T_{jk}^{(2)} = 0, \\ \Sigma_{jk}^{(4)} &\equiv k(1 + l^2 k^2) V_{jk}^* + (1 + l^2 k^4) W_{jk}^* - T_{jk}^{(1)} - l^2 k^2 T_{jk}^{(2)} = 0, \\ \Sigma_{jk}^{(5)} &\equiv T_{jk}^{(1)} + \frac{h}{R} T_{jk}^{(2)} - t_{jk}^+ = 0, \\ \Sigma_{jk}^{(6)} &\equiv \frac{a_1}{3} \frac{h}{R} \frac{dT_{jk}^{(2)}}{d\tau} - a_1 \frac{dT_{jk}^{(1)}}{d\tau} + (1 + l^2 k^2) \frac{h}{R} T_{jk}^{(2)} - 3l^2 k^2 T_{jk}^{(1)} = 0 \end{aligned} \quad (10)$$

при $0 \leq \tau \leq 1$,

$$\int_0^1 \tau^i t_{jk}^+(\tau) d\tau = \kappa_{jk}^{(i)} \quad (i = 0, 1), \quad (11)$$

$$t_{jk}^+(\tau) = t_{jk}^H \quad \text{при } \tau \geq 1 \quad (12)$$

и начальные условия при $\tau = 0$:

$$V_{jk} = 0, \quad W_{jk} = 0, \quad \frac{dV_{jk}}{d\tau} = 0, \quad \frac{dW_{jk}}{d\tau} = 0, \quad T_{jk}^{(1)} = 0 \quad (j = 1, 2; k = \overline{0, \infty}). \quad (13)$$

Подставляя в формулу (8) выражения (9) для напряжений и интегрируя по γ и β , получаем

$$I = C \left\{ \frac{1}{2} \int_0^1 \sum_{k=0}^{\infty} \sum_{j=1}^2 [k^2 (1 + l^2) (V_{jk} - V_{jk}^*)^2 + 2k(1 + k^2 l^2) (W_{jk} - W_{jk}^*) \times \right.$$

$$\left. \times (V_{jk} - V_{jk}^*) + (1 + k^4 l^2) (W_{jk} - W_{jk}^*)^2] d\tau + \bar{I}(\tau_2, \bar{V}_{jk}, \bar{V}_{jk}, \bar{W}_{jk}, \bar{W}_{jk}, \bar{T}_{jk}) \right\}.$$

Здесь C — некоторая постоянная; $\tilde{V}_{jk} = V_{jk}(1)$; $\tilde{V}_{jk} = \frac{dV_{jk}(1)}{d\tau}$; $\tilde{W}_{jk} = W_{jk}(1)$; $\tilde{W}_{jk} = \frac{dW_{jk}(1)}{d\tau}$; $\tilde{T}_{jk} = T_{jk}^{(1)}(1)$.

Задачу на условный экстремум функционала I при условиях (10) — (13), используя метод множителей Лагранжа, сведем к нахождению экстремума функционала

$$I^* = \frac{I}{C} + \int_0^1 \left\{ \frac{1}{2} \sum_{k=0}^{\infty} \sum_{j=1}^2 [\chi_{jk} \Xi_{jk}^{(1)} + \lambda_{jk} \Xi_{jk}^{(2)} + \chi_{jk}^* \Xi_{jk}^{(3)} + \lambda_{jk}^* \Xi_{jk}^{(4)} + \theta_{jk}^{(1)} \Xi_{jk}^{(5)} + \theta_{jk}^{(2)} \Xi_{jk}^{(6)} + t_{jk}^+ (\mu_{jk}^{(0)} + \mu_{jk}^{(1)} \tau)] \right\} d\tau,$$

заданного на множестве функций $V_{jk}(\tau)$, $W_{jk}(\tau)$, $V_{jk}^*(\tau)$, $W_{jk}^*(\tau)$, $T_{jk}^{(1)}(\tau)$, $T_{jk}^{(2)}(\tau)$, $t_{jk}^+(\tau)$. Здесь $\chi_{jk}(\tau)$, $\lambda_{jk}(\tau)$, $\chi_{jk}^*(\tau)$, $\lambda_{jk}^*(\tau)$, $\theta_{jk}^{(1)}(\tau)$, $\theta_{jk}^{(2)}(\tau)$, $\mu_{jk}^{(i)}$ — множители Лагранжа.

Из необходимого условия экстремума функционала I^* получим соответствующие рассматриваемой вариационной задаче уравнения Эйлера для $0 \leq \tau \leq 1$:

$$\begin{aligned} c^2(1-l^2) \frac{d^2 \chi_{jk}}{d\tau^2} - c^2 l^2 k \frac{d^2 \lambda_{jk}}{d\tau^2} + k^2(1+l^2)(\chi_{jk} + V_{jk} - V_{jk}^*) + \\ + k(1+l^2 k^2)(\lambda_{jk} + W_{jk} - W_{jk}^*) = 0, \\ c^2(1-l^2 k^2) \frac{d^2 \lambda_{jk}}{d\tau^2} - k l^2 c^2 \frac{d^2 \chi_{jk}}{d\tau^2} + (1+l^2 k^4)(\lambda_{jk} + W_{jk} - W_{jk}^*) + \\ + k(1+l^2 k^2)(\chi_{jk} + V_{jk} - V_{jk}^*) = 0, \\ k^2(1+l^2)(\chi_{jk}^* - V_{jk} + V_{jk}^*) + k(1+l^2 k^2)(\lambda_{jk}^* - W_{jk} + W_{jk}^*) = 0, \\ (1+l^2 k^4)(\lambda_{jk}^* - W_{jk} + W_{jk}^*) + k(1+l^2 k^2)(\chi_{jk}^* - V_{jk} + V_{jk}^*) = 0, \\ a_1 \frac{d\theta_{jk}^{(2)}}{d\tau} - 3l^2 k^2 \theta_{jk}^{(2)} + \theta_{jk}^{(1)} - k(\chi_{jk} + \chi_{jk}^*) - \lambda_{jk} - \lambda_{jk}^* = 0, \\ \frac{a_1}{3} \frac{d\theta_{jk}^{(2)}}{d\tau} - (1+l^2 k^2) \theta_{jk}^{(2)} - \theta_{jk}^{(1)} + l^2 \frac{R}{h} k [k(\lambda_{jk} + \lambda_{jk}^*) + \chi_{jk} + \chi_{jk}^*] = 0, \\ \theta_{jk}^{(1)} - \mu_{jk}^{(0)} - \mu_{jk}^{(1)} \tau = 0 \quad (j=1, 2; k=0, \infty) \end{aligned} \quad (14)$$

и условия в момент времени $\tau = 1$:

$$\begin{aligned} \frac{\partial \tilde{I}}{\partial \tilde{V}_{jk}} - c^2 \tilde{\chi}_{jk} + c^2 l^2 k \tilde{\lambda}_{jk} = 0, \quad \frac{\partial \tilde{I}}{\partial \tilde{W}_{jk}} - c^2(1-l^2 k^2) \tilde{\lambda}_{jk} = 0, \\ \frac{\partial \tilde{I}}{\partial \tilde{V}_{jk}} + c^2 \tilde{\chi}_{jk} - c^2 l^2 k \tilde{\lambda}_{jk} = 0, \quad \frac{\partial \tilde{I}}{\partial \tilde{W}_{jk}} + c^2(1-l^2 k^2) \tilde{\lambda}_{jk} = 0, \\ \frac{\partial \tilde{I}}{\partial \tilde{T}_{jk}} - \frac{4}{3} a_1 \tilde{\theta}_{jk} = 0, \end{aligned} \quad (15)$$

где обозначено $\tilde{\chi}_{jk} = \chi_{jk}(1)$; $\tilde{\lambda}_{jk} = \lambda_{jk}(1)$; $\tilde{\chi}_{jk} = \frac{d\chi_{jk}(1)}{d\tau}$; $\tilde{\lambda}_{jk} = \frac{d\lambda_{jk}(1)}{d\tau}$; $\tilde{\theta}_{jk} = \theta_{jk}^{(2)}(1)$.

Решая систему (14) совместно с системой (10) при условиях (11), (12), (15), можно получить коэффициенты разложения функций $t^+(\beta, \tau)$ — оптимального режима нагрева и напряженно-деформированного состояния оболочки, соответствующего этому режиму.

Проведем расчет оптимальных режимов нагрева для функций $t_H(\beta) = t_0 = \text{const}$, $t_H(\beta) = t_0(1 + \cos \beta)$. В первом случае за время $0 \leq \tau \leq 1$ требуется нагреть цилиндрическую оболочку до постоянной температуры. Тогда все коэффициенты разложения функции $t^+(\beta, \tau)$, кроме первого, при $k=0$ обращаются в нули, т. е. $t^+ = t_{10}^+(\tau)$.

Численные расчеты выполнены для стальной оболочки с $h = 10^{-4}$ м, $R = 2 \cdot 10^{-2}$ м, $C_0 = 5,3 \cdot 10^3$ м/с, $\nu = 0,3$, $a^2 = 7,7 \cdot 10^{-4}$ с/м² при $\tau_2' =$

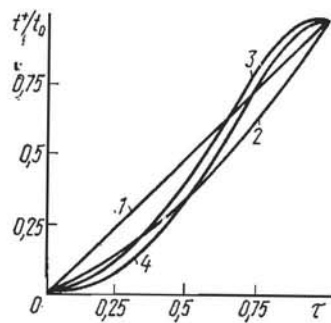


Рис. 1

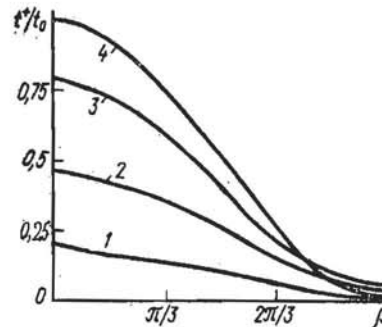


Рис. 2

$= 2\tau_1'$. На рис. 1 изображены графики функции $\frac{t^+(\tau)}{t_0}$ для $0 \leq \tau \leq 1$. Кривые 1—4 соответствуют $\tau_1' = 10^{-6}$, $3 \cdot 10^{-6}$, $3 \cdot 10^{-5}$, 10^{-4} с.

Численные исследования оптимального режима нагрева во втором случае выполнены для той же оболочки при $\tau_1' = 10^{-4}$ с. На рис. 2 кривые 1—4 характеризуют поведение функции $\frac{t^+(\beta, \tau)}{t_0}$ для значений $\tau = 0,4$; $0,6$; $0,8$; 1 .

ЛИТЕРАТУРА

1. Підстригач Я. С., Ярема С. Я. Температурні напруження в оболонках. Київ, Вид-во АН УРСР, 1961. 212 с.

Львовский филиал математической физики Института математики АН УССР

Поступила в редколлегию 14.09.77

УДК 539.3

В. А. Осадчук, М. М. Николишин, С. П. Регейло

ВЛИЯНИЕ УПРУГОГО ЗАПОЛНИТЕЛЯ НА НАПРЯЖЕННОЕ СОСТОЯНИЕ ЗАМКНУТОЙ ЦИЛИНДРИЧЕСКОЙ ОБОЛОЧКИ С СИСТЕМОЙ ТРЕЩИН

Задача о напряженном состоянии замкнутой цилиндрической оболочки с упругим наполнителем, ослабленной системой параллельных трещин, сведена к решению системы сингулярных интегральных уравнений. При этом упругий наполнитель моделируется основанием Винклера.

Рассмотрим упругое равновесие замкнутой круговой цилиндрической оболочки с упругим наполнителем, срединная поверхность которой отнесена к линиям кривизны α , β . Пусть в этой оболочке имеется система k параллельных периодически расположенных трещин (разрезов) $|\alpha| \leq \alpha_0$, $\beta = 2n \frac{\pi}{k}$, $n = 0, \pm 1, \pm 2, \dots, \pm \frac{k}{2}$ при k четном, $n = 0, \pm 1, \pm 2, \dots, \frac{k-1}{2}$